

名古屋工業大学 正員 杉本 寿博
名古屋工業大学 正員 長谷部宣男

1. まえがき 縦せん断問題において固定辺隅角部が丸味を有するとき、その隅角部先端に生じる応力集中の法則を考察する。平面弾性問題および薄板の曲げ問題に関してはすでに発表している。固定辺に対するこれらの問題は実用的には構造的な固定辺の応力集中の他、異種材料(一方が剛な場合)の接合部や弾性体中の剛な介在物などにおける応力集中等に適用できる。

隅角部近傍に注目したとき、任意の応力状態は隅角部2等分線に対称な応力状態と逆対称な応力状態に分けられるか、ここでは対称なものを取り上げる。解析には有理半像関数および複素応力関数を用い、これによる応力分布の例も示す。また縦せん断問題では弾性体が直交異方性である場合の解析も可^能であるため、この場合の解析および考察も行なう。

2. 解析モデルと応力分布 先端に丸味のある切欠きを有する半無限板を考える。境界はすべて固定し、無限遠において一様な縦せん断荷重 T_0 を作用させる。Fig. 1, 2は以上のような解析モデルとその応力分布の1例を示したものである。Fig. 1の応力分布は等方性の場合のもので、形状は隅角部角度 $2\alpha\pi=315^\circ$ 、切欠き底の曲率半径 $P/a=-0.1698$ のものである。境界線上および y 軸上の縦せん断応力を示す。境界線上では τ_{xt} (境界線上直角面上の縦せん断応力)はゼロであり、これは理論的にも導びかれる。また切欠き先端において τ_{rx} (境界面上の縦せん断応力)による応力集中が生じている。 y 軸上においては τ_{xy} は対称性よりゼロとなる。

Fig. 2は直交する主せん断弹性係数 G_{13}, G_{23} の方向がそれぞれ x 面、 y 面に平行な直交異方性であるような場合の応力分布である。切欠き形状は $2\alpha\pi=315^\circ$ 、 $P/a=-0.0901$ である。また $G_{13}/G_{23}=0.029$ である。この場合も切欠き先端において τ_{rx} が最大になり、これによる応力集中が生じている。 y 軸上では τ_{xy} はゼロであるが、境界上では等方性の場合とは異なり τ_{xt} はゼロとはならない。また τ_{xy}, τ_{yt} の値は $x_1=x, y_1=\sqrt{G_{13}/G_{23}}, \gamma$ なるアフィン変換を行なって得られる形状に対応する等方性の場合の縦せん断応力 τ_{x1}, τ_{y1} と $\tau_{x1}=\sqrt{G_{13}/G_{23}} \cdot \tau_{xt}, \tau_{y1}=\tau_{yt}$ なる関係があることが理論的にも導びかれる。

3. 固定辺上の応力集中 先端に丸味のない鋭い角を持つ弾性領域において隅角部付近の境界が固定されているとき、隅角部の角度 $2\alpha\pi$ と隅角部近傍における応力のオーダー m_i との関係は、自由境界の場合と同様な手法により、

$$m_i = (2i - 1)/2\alpha - 1 \quad (i = 1, 2, \dots) \quad (1)$$

となる。これらの m_i を用いて隅角部近傍($r < 1$)の縦せん断応力では次のように表わされる。

$$\tau = \sum_{i=1}^{\infty} \alpha_i r^{m_i} \quad (2)$$

ここに r は隅角部先端からの距離、 α_i は弾性体の形状や境界条件、 m_i 、隅角部2等分線からの角度から決まる定数である。

Fig. 3に解析モデルの切欠き先端に生じている最大応力 τ_{max} と切欠き先端の曲率半径 P との関係を4つの隅角部角度に対して両対数グラフ上に示す。

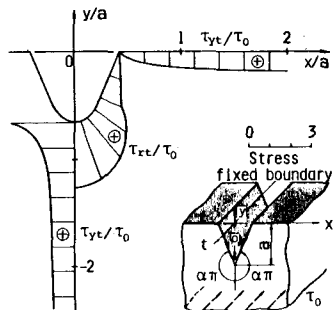


Fig. 1. 解析モデルと応力分布例
($2\alpha\pi=315^\circ, P/a=-0.1698$)

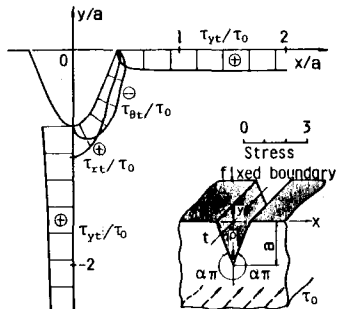


Fig. 2. 解析モデルと応力分布例
($2\alpha\pi=315^\circ, P/a=-0.0901$ 、直交異方性、 $G_{13}/G_{23}=0.029$)

この図より T_{max} が各角度で P の比較的小さいところでは直線的な変化をし、この直線の勾配が式 1 より求まる m_j にはほぼ一致していることがわかる。これより先端に丸味を有する隅角部における T_{max} と P の間に式 2 と同様な関係が成り立つと思われる。すなわち、

$$T_{max} = \sum_{j=1}^{\infty} k_j P^{m_j} \quad (3)$$

ここに k_j は弾性体形状、境界条件、 m_j によって決まる定数である。またこの式も式 2 と同様に $P < 1$ の範囲で成り立つものである。

次に式 3 の始めの 2、3 項を採った式

$$T_{max}/\tau_0 = k_1(P/a)^{m_1} + k_2(P/a)^{m_2} \quad (4)$$

$$T_{max}/\tau_0 = k_1(P/a)^{m_1} + k_2(P/a)^{m_2} + k_3(P/a)^{m_3} \quad (5)$$

によって Fig. 3 の各曲線が精度よく表示されることを示す。Table 1 に各角度における m_j ($j=1 \sim 3$) の値と、解析によって得られた T_{max}/τ_0 、 P/a の値を用いて最小 2 乗法によって決められた係数 k_j ($j=1 \sim 3$) の値を示す。またこれらの値を用いて式 4, 5 によって得られた T_{max}/τ_0 の値とその誤差を Table 2 に示す。これらの精度は全体的に式 2 項だけを採った式 4 でも最大誤差は 1.5% 程度であり、他はすべて 1% 以内に収まっている。また 3 項を採った式 5 では誤差はすべて 1% 以内に収まっている。

次に直交異方性の場合について考察する。アフィン変換して得られた形状に対する等方性の場合の最大応力 T_{max} はアフィン変換して得られた隅角部角度 $2\alpha\pi$ によって式 1 から得られた応力のオーダー P と曲率半径 P を用いて式 3 より

$$T_{max} = \sum_{j=1}^{\infty} k_j P^{m_j} \quad (6)$$

と書ける。さうして $T_{xy} = T_{yx}$ 、 $P = G_{13}/G_{23}P'$ であるので結局、直交異方性の場合の最大応力 T_{max} はアフィン変換して得られる形状の k_j と応力のオーダー P を用いて

$$T_{max} = \sum_{j=1}^{\infty} k_j \left\{ \left(\frac{G_{23}}{G_{13}} \right) P' \right\}^{m_j} \quad (7)$$

と書けることがわかる。

4. あとがき 固定辺隅角部先端における最大応力は隅角部角度によって決まる応力のオーダー m_j と曲率半径 P を用いて式 3 のように書ける。また実用的にはこの式の始めの数項を採った式でも十分良い精度で最大応力が近似できることがわかる。また直交異方性の場合にはアフィン変換によって得られた形状の k_j 、 P がわかれば式 7 によって最大応力が得られる。

〈参考文献〉 1. 杉本、長谷部：昭和58年度土木学会中部支部概要集、I-12、PP24-25.

2. 杉本、長谷部：昭和69年度土木学会中部支部概要集、I-5、PP10-11.

3. 杉本、長谷部：土木学会年譜概要集、I-107、PP213-214、1984.

4. 長谷部宣男：土木学会論文報告集、第211号、PP11-18、1973.

5. G. C. Sih : Jour. App. Mech., PP51-58, 1965-3.

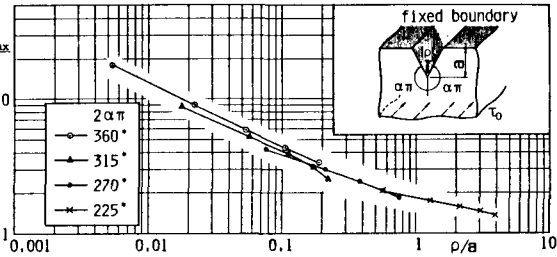


Fig. 3. 最大応力 T_{max} と曲率半径 P の関係

Table 1. 応力のオーダーと最小 2 乗法によって

得られた式 4, 5 の係数の値

2απ	m_1	m_2	m_3	k_1/τ_0	k_2/τ_0	k_3/τ_0
360°	-0.5	0.5	1.5	1.3307	0.7639	
315°	-0.4286	0.7143	1.8571	1.5791	-1.4026	0.6381
270°	-0.3333	1.0	2.3333	1.8046	-0.1728	-0.5714
225°	-0.2	1.4	3.0	1.8343	-0.0050	0.0001
				1.8351	-0.0057	0.0001

Table 2. 解析による最大応力と式 4, 5 によって

得られた最大応力およびその誤差

2απ	a/a	T_{max}/τ_0		T_{max}/τ_0 of Eq. (2)		Error (1)-(2) × 100	T_{max}/τ_0 of Eq. 5		Error (1)-(3) × 100
		(1)	(2)	(1)	(2)		(3)	(3)	
360°	0.00550	18.020	18.004	0.0%	18.010	0.0%	9.001	9.001	-0.35
	0.03397	8.970	9.007	-0.4%	8.959	-0.4%	5.895	5.895	0.12
	0.19089	5.902	5.890	-0.2%	5.880	-0.2%	4.232	4.232	0.22
	0.19089	4.143	4.137	-0.1%	4.141	-0.1%	3.392	3.392	-0.18
	3.386	3.380	3.380	0.1%	3.380	0.1%			
315°	0.01729	8.748	8.753	-0.1%	8.740	-0.1%	5.205	5.205	-0.42
	0.05152	5.183	5.187	-0.1%	5.188	-0.1%	3.784	3.784	0.08
	0.11109	3.787	3.757	-0.8%	3.794	-0.8%	2.496	2.496	0.46
	0.22164	2.636	2.534	-3.8%	2.507	-3.8%	1.507	1.507	-0.44
270°	0.07621	4.246	4.243	-0.1%	4.242	-0.1%	2.059	2.059	-0.09
	0.20960	2.423	2.423	0.1%	2.421	0.1%	1.220	1.220	-0.23
	0.37933	2.429	2.427	-0.1%	2.429	-0.1%			0.00
	0.56965	2.084	2.078	-0.2%	2.079	-0.2%			0.24
	0.76241	1.840	1.844	-0.2%	1.842	-0.2%			-0.11
225°	0.55062	2.061	2.059	-0.1%	2.059	-0.1%	1.132	1.132	-0.12
	1.15143	1.559	1.559	0.0%	1.559	0.0%	1.559	1.559	0.00
	2.15143	1.444	1.443	0.0%	1.442	0.0%	1.442	1.442	0.14
	3.06067	1.444	1.443	0.0%	1.442	0.0%	1.357	1.357	0.07
	3.99177	1.356	1.356	0.0%					